

ساخت و بررسی تأثیر نانوذرات  $\text{Sb}_2\text{O}_3$  بر ابررسانای Bi - ۲۲۲۳سیدابراهیم موسوی قهفرخی<sup>\*</sup>، مرتضی زرگرشوشتی

گروه فیزیک، دانشکده علوم، دانشگاه شهید چمران اهواز

(دریافت مقاله: ۸۸/۸/۲۶ ، نسخه نهایی: ۸۸/۱۲/۱۴)

چکیده: در این مقاله، ساخت نانوذرات اکسید آنتیموان ( $\text{Sb}_2\text{O}_3$ ) به روش محلولی و نیز تأثیر این نانوذرات بر خواص ابررسانای پایه‌ی بیسموت گزارش شده است. دمای بحرانی، چگالی جریان بحرانی و انرژی فعال‌سازی به روش چهار میله‌ای و خواص مغناطیسی نمونه‌ها با استفاده از پذیرفتاری مغناطیسی اندازه‌گیری شدند. ریخت‌شناختار و ریخت‌شناختی نمونه‌ها با XRD، SEM و EDX بررسی شدند. نتایج حاصل از الگوهای پراش نشان می‌دهند که فاز ۲۲۲۳ در نمونه‌های ابررسانای پایه‌ی بیسموت با درصد کم نانوذرات اکسید آنتیموان و زمان پخت طولانی افزایش می‌یابد. همچنین در بررسی‌های انجام شده روی نمونه‌های ساخته شده، مشخص شد که نانوذرات اکسید آنتیموان تأثیر چندانی روی فازهای موجود و دمای بحرانی این نوع ابررسانا ندارد، ولی باعث افزایش نسبی چگالی جریان بحرانی و انرژی فعال‌سازی می‌شوند.

واژه‌های کلیدی: نانوذرات، دمای بحرانی، چگالی جریان بحرانی، پذیرفتاری مغناطیسی، انرژی فعال‌سازی.

نانوذرات اکسید آنتیموان به روش محلولی تهیه شد [۵، ۶]. اهمیت مسئله‌ی جانشینی در ابررساناهای ابررساناهای اکسید مس، مهم است که بسیاری از ترکیب‌های ابررساناهای اکسید مس، حاصل و بررسی‌های جایگزینی عناصر مختلف در این دسته از مواد است. با توجه به این که با کاهش اندازه‌ی ذرات و رسیدن به حد نانو، مواد خواصی غیر عادی از خود نشان می‌دهند، به نظر می‌رسد که بررسی تأثیر آلایش نانوذرات بر ابررساناهای مناسب باشد. این امر اکنون نظر پژوهشگران را به خود معطوف کرده است. ابررسانای پایه‌ی Bi با فرمول عمومی  $\text{Bi}_2\text{Sr}_2\text{Ca}_{n-1}\text{Cu}_n\text{O}_{2n+4+\delta}$  دارای سه فاز اصلی به ازای  $n=1$  (Bi - ۲۲۰۲)،  $n=2$  (Bi - ۲۲۱۲)،  $n=3$  (Bi - ۲۲۲۳) است. ازین این سه

## مقدمه

نانوذرات در چند سال اخیر به علت خواص فیزیکی و شیمیایی منحصر به فرد خود که با خواص شان در حالت جسمی متفاوت‌تند، از توجه زیادی برخوردارند. این خواص، به علت ساختار و نسبت سطح به حجم آن‌ها ظاهر می‌شوند. این سرنشیتی یکی از مهم‌ترین سرنشیتی‌های مواد تولید شده در مقیاس نانو است. در مقیاس نانو، اشیاء شروع به تغییر رفتار می‌کنند و رفتار نانومواد بسته به نوع تقارن بر رفتار توده‌ای ماده غلبه می‌کند. نانوذرات به خاطر ریز بودن اندازه‌ی ذرات در مقیاس نانو، خواص منحصر به فردی ایجاد کرده‌اند. نانوذرات دارای کاربردهایی در حوزه کاتالیزورها، سرامیک‌ها و دیگر وسایل اپتوالکترونیک هستند [۱، ۲]. با این که روش‌های متعددی برای تولید نانوذرات وجود دارد [۳، ۴] ولی در این مقاله

\* نویسنده مسئول، تلفن: ۰۶۱۱ ۳۳۳۱۰۴۰، نمبر: ۰۶۱۱ ۳۳۳۱۰۴۰، پست الکترونیکی: musavi\_ebrahim@yahoo.co.uk

نانوذرات از میکروسکوپ الکترونی روبشی (SEM) و همچنین جهت بررسی وجود ناخالصی احتمالی، از آنالیز دستگاه اتلاف انرژی اشعه ایکس (EDX) استفاده گردید. برای ساخت نمونه‌های ابررسانا، مقادیر معینی از پودرهای اولیه  $\text{SrCO}_3$ ,  $\text{Sb}_2\text{O}_3$ ,  $\text{Bi}_2\text{O}_3$ ,  $\text{CaCO}_3$ ,  $\text{CuO}$ ,  $\text{PbO}$  خلوص بالا به نسبت‌های وزنی مناسب وزن شدند. پس از آسیاب پودرها به مدت یک ساعت، چهار نمونه‌ی  $\text{Bi}_{1.65-x}\text{Pb}_{0.35}\text{Sb}_x\text{Sr}_2\text{Ca}_2\text{Cu}_3\text{O}_y$  با مقادیر  $x = 0.03$ ,  $0.05$ ,  $0.07$  و  $0.10$  درون بوتهایی از جنس آلومینا ریخته و در درون کوره الکتریکی قرار گرفتند. به منظور جلوگیری از تشکیل فازهای ناخواسته در طول فرایند تهیه‌ی فاز  $-2223$ - $\text{Bi}$  با استفاده از واکنش حالت جامد عمل تکلیس که شامل  $\text{Bi}$  گرما دهی در دمای  $820^\circ\text{C}$ ، به مدت ۱۵ ساعت انجام گرفت. محصول تکلیس شده به مدت ۳ ساعت آسیاب شد و زیر فشار  $25 \times 10^3 \text{ Kg/cm}^2$  نمونه‌هایی میله‌ای و قرصی تهیه و درون کوره قرار گرفتند. مرحله‌ی کلوخه سازی در دمای  $845^\circ\text{C}$  با زمان‌های پخت متفاوت انجام گرفت. برای اندازه‌گیری انرژی فعل سازی، دما و چگالی جریان بحرانی نخست به وسیله‌ی منبع تغذیه، جریان مستقیم از دو اتصال انتهایی به نمونه اعمال شده و ولتاژ از دو اتصال میانی اندازه‌گیری شد. با تغییر جریان، منحنی‌های V-I بازی هر یک از نمونه‌ها رسم و با داشتن سطح مقطع آن‌ها، چگالی جریان بحرانی برای هر نمونه به دست آمد. برای محاسبه‌ی مقاومت ویژه، از رابطه‌ی  $\rho = \alpha \frac{V}{I}$  که در آن  $I$  و  $V$  به ترتیب جریان، ولتاژ و مقاومت ویژه هستند مورد استفاده قرار گرفت. در این رابطه ضریب ثابتی است که با توجه به آرایش دستگاه چهار میله‌ای مشخص می‌شود. با ترسیم مقاومت ویژه بر حسب دما، دمای بحرانی آستانه ( $T_c$ ) (onset) و پایانی ( $T_c$ ) (offset) هر نمونه دستگاه پذیرفتاری مغناطیسی سنج استفاده کردیم. اصول این اندازه‌گیری بر پایه‌ی رانش شار مغناطیسی از درون ابررسانا (اثر مایسner) استوار است. هر گونه تغییر توزیع شار مغناطیسی (انرژی) در فضایی که نمونه در آن قرار دارد می‌تواند یک ولتاژ القایی درون سیم پیچی که به دور نمونه پیچیده شده، ایجاد کند. این ولتاژ القایی با پذیرفتاری مغناطیسی نمونه (%) متناسب است.

$$\nu = \frac{\chi VHf}{\alpha} \quad (1)$$

فاز، فاز  $-2223$ - $\text{Bi}$  به خاطر دمای گذار بحرانی ( $T_c$ ) بالا بیشتر مورد توجه است. ساختار بلوی هر سه فاز ابررسانای پایه‌ی بیسموت به شکل راستگوشه‌اند. آنچه این فازها را از هم متمایز می‌کند، اندازه‌ی محور  $c$  در شبکه راستگوشی است که به ترتیب افزایش  $T_c$  دارای طول‌های  $24/60$ ,  $30/70$  و  $38/10$  آنگستروم است. افزایش پارامتر  $c$  وابسته به تفاوت تعداد لایه‌های  $\text{Ca}$  و  $\text{CuO}_2$  است که با افزایش دمای گذار همراه است [۷، ۸]. ساخت اکسیدهای پایه‌ی بیسموت به صورت تک فاز بسیار مشکل است و عموماً چندین فاز، همزمان تشکیل می‌شوند [۹، ۱۰]. روش‌هایی برای افزایش مقدار فاز  $-2223$ - $\text{Bi}$  با توجه به کاربردهای گسترده‌ی و دمای گذار بالای آن نسبت به فازهای دیگر صورت گرفته است. از جمله این روش‌ها، عملیات گرمایی طولانی [۱۱، ۱۲]، دمای کلوخه‌سازی [۱۳]، نوع و مقدار آلایش [۱۴] گزارش شده است. در این مقاله، با آلایش نانوذرات و تسوده اکسید آنتیموان به طور جداگانه در ابررسانای  $\text{Bi}_{1.65-x}\text{Pb}_{0.35}\text{Sb}_x\text{Sr}_2\text{Ca}_2\text{Cu}_3\text{O}_y$  که در آن  $x = 0.03$ ,  $0.05$ ,  $0.07$  و  $0.10$  است، نمونه‌هایی از آن ساخته شدند. با روش استاندارد چهار میله‌ای، چگالی جریان بحرانی، دمای بحرانی، انرژی فعل سازی و پذیرفتاری مغناطیسی با دستگاه Lake Shore مدل ۷۰۰۰ و نیز Rietveld با ریزساختار و الگوهای پراش به وسیله‌ی دستگاه XRD با پراش سنج PW1840 ساخت شرکت فیلیپس و همچنین تصاویر SEM و EDX با میکروسکوپ الکترونی روبشی مدل 1455VP ساخت شرکت LEO بررسی شدند.

#### شرح آزمایش و اندازه‌گیری‌ها

برای تهیه و نانوذرات اکسید آنتیموان، کلرید آنتیموان ( $\text{SbCl}_3$ ) را در  $500 \text{ cc}$  آب حل کرده و سپس به محلول موردنظر، پایدارساز (CTAB) اضافه شد و به مدت ۲ ساعت آن را با همزن مغناطیسی بهم زده تا حل شود. سپس به محلول موردنظر، هیدروکسید سدیم  $0.1 \text{ Molar}$  اضافه شد. این کار آنقدر ادامه داده شد تا  $\text{PH}$  محلول به ۱۴ برسد. آنگاه محلول موردنظر به مدت ۲۴ ساعت با همزن مغناطیسی در دمای اطاق کاملًا مخلوط شد. در ادامه، محلول در مرکز گریز سانتریفوج قرار گرفت. برای رسیدن به اطمینان از نتیجه نهایی، این عمل تکرار شد و محصول نهایی را در دمای  $60^\circ\text{C}$  خشک کردیم. آنالیز ساختاری و تعیین نوع نانوذرات با پراش اشعه ایکس (XRD) انجام شد. برای بررسی ریخت‌شناسی و چگونگی رشد

### بحث و بررسی

شکل ۱ نمودار آنالیز XRD نانوذرات اکسید آنتیموان ساخته شده را نشان می‌دهد. با مقایسه الگوی پراش پرتو X با کارت استاندارد (JCPDS) به شماره ۷۱۰۳۶۵ نتیجه گرفته شد که ساختار نانوذرات مکعبی و تک فازند.

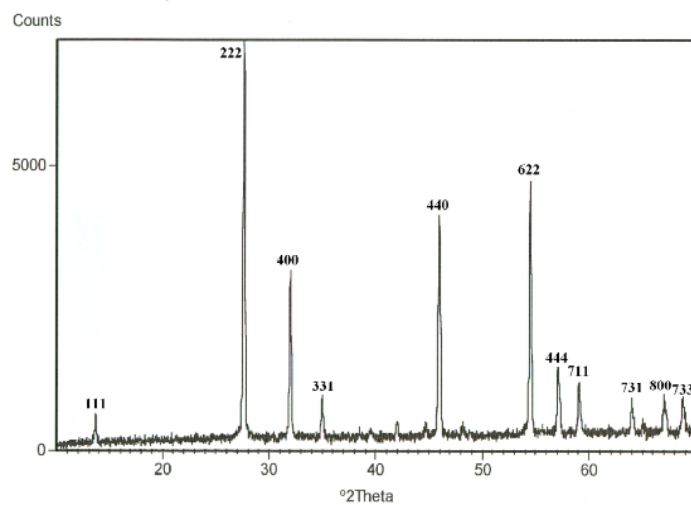
شکل ۲ تصویر SEM نانوذرات اکسید آنتیموان را نشان می‌دهد. با توجه به شکل ۲ می‌توان نتیجه گرفت که ابعاد نانوذرات اکسید آنتیموان در حدود ۱۵۰ الی ۲۰۰ نانومترند.

از نمونه‌های ساخته شده نانوذرات اکسید آنتیموان تصاویر EDX گرفته شد که یک نمونه آن در شکل ۳ نشان داده شده است. از این شکل به خوبی مشاهده می‌شود که عناصر ناخواسته در نمونه وجود ندارند و این بدان معنا است که در فرآیند ساخت نمونه‌ها، آلودگی قابل مشاهده که باعث وجود عناصر ناخواسته در نمونه شود به وجود نیامده است.

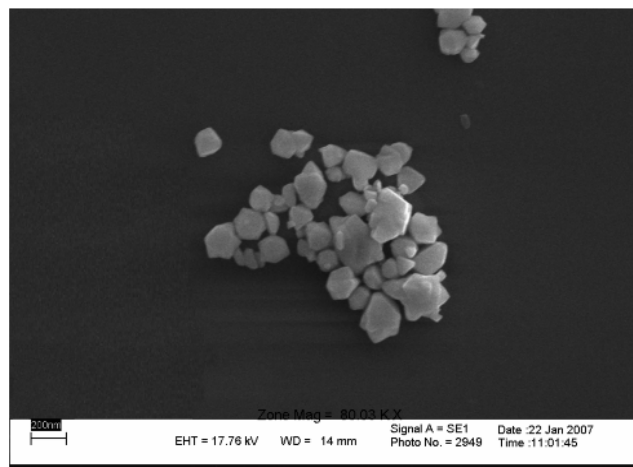
در رابطه ۱،  $\chi_D$  ولتاژ مؤثر اندازه‌گیری شده،  $\chi$  پذیرفتاری مغناطیسی حجمی نمونه،  $V$  حجم نمونه،  $H$  میدان مغناطیسی مؤثر،  $f$  بسامد میدان متناسب و  $\alpha$  ضریب درجه بندی دستگاه است. اگر نمونه دارای ضریب وامغناطیش باشد مقدار پذیرفتاری به صورت زیر تغییر می‌کند.

$$\chi_D = \frac{\chi}{(1-D\chi)} \quad (2)$$

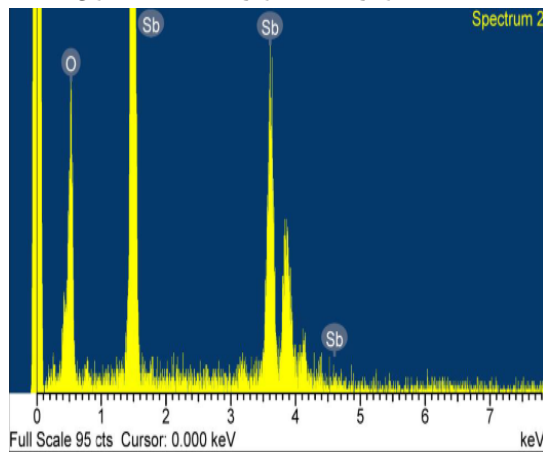
که در آن برای استوانه‌ای که میدان مغناطیسی موازی محور آن است  $D = 0$  است [۱۷]. در نمونه‌های مکعب مستطیل مورد استفاده نیز به دلیل آن که طول نمونه به مراتب بیش از عرض و ضخامت آن است، می‌توان نمونه را به تقریب استوانه در نظر گرفت. از نمونه‌های ساخته شده، الگوهای پراش و نیز تصاویر SEM و EDX تهیه شدند.



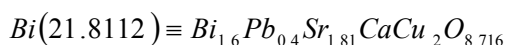
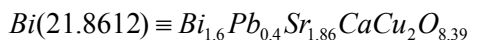
شکل ۱ نمودار XRD نانوذرات اکسید آنتیموان.



شکل ۲ نمودار SEM نانوذرات اکسید آنتیموان.



شکل ۳ نمودار EDX نانوذرات اکسید آنتیموان



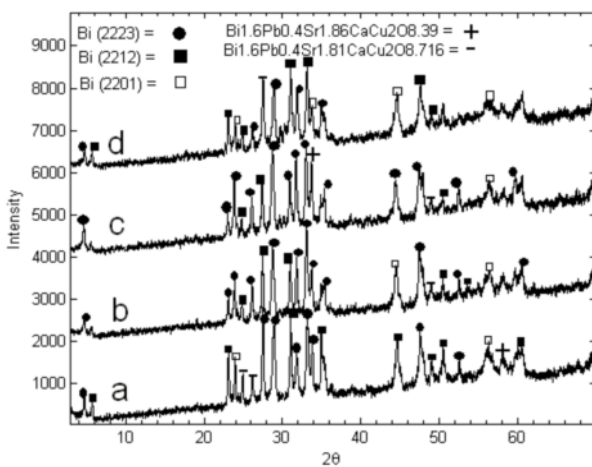
که در آنها I شدت فاز است. نتایج حاصل از اندازگیری‌های فازهای موجود در نمونه‌ها در جدول ۱ نشان داده شدند. از جدول ۱ به خوبی پیداست که با افزایش مقدار نانوذرات اکسید آنتیموان تا  $x = 0.05$  درصد فاز  $Bi-2223$  به  $78/52\%$ ، فازهای (نمونه c) می‌رسد که با افزایش درصد فاز  $Bi-2223$ ،  $Bi-2212$ ،  $Bi-2201$  و ناخواسته کاهش می‌یابد. برای مقادیر  $x > 0.05$  درصد فاز  $Bi-2223$  از  $78/52\%$  (نمونه c) به  $27/74\%$  (نمونه d) کاهش یافته و در نتیجه فازهای ناخواسته افزایش می‌یابند.

شکل ۴ الگوهای پراش نمونه‌ها با مقادیر متفاوت نانوذرات اکسید آنتیموان را نشان می‌دهد. با استفاده از الگوهای پراش، درصد فازهای موجود در هر نمونه با رابطه‌های ۳ برآورد شد [۱۸].

$$\begin{aligned} Bi(2223)(\%) &\approx \frac{\sum I[Bi(2223)]}{A} \times 100 \\ Bi(2212)(\%) &\approx \frac{\sum I[Bi(2212)]}{A} \times 100 \\ Bi(2201)(\%) &\approx \frac{\sum I[Bi(2201)]}{A} \times 100 \\ Bi(21.8612)(\%) &\approx \frac{\sum I[Bi(21.8612)]}{A} \times 100 \\ Bi(21.8112)(\%) &\approx \frac{\sum I[Bi(21.8112)]}{A} \times 100 \end{aligned} \quad (3)$$

با این فرض که

$$A \equiv \sum I[Bi(2223)] + \sum I[Bi(2212)] + \sum I[Bi(2201)] + \sum I[Bi(21.8112)] + \sum I[Bi(21.8612)]$$



شکل ۴ الگوی پراش نمونه‌ها با مقدار نانوذرات اکسید آنتیموان a (۰/۰۵)، b (۰/۰۳)، c (۰/۰۷) و d (۰/۰۷) با زمان پخت ۲۷۰ ساعت.

جدول ۱ فازهای موجود در نمونه‌های آلایش داده شده با نانوذرات اکسید آنتیموان با زمان پخت ۲۷۰ ساعت.

نمونه	a	b	c	d
مقدار	۰/۰	۰/۰۳	۰/۰۵	۰/۰۷
Bi-۲۲۲۳	۴۷/۲۴	۷۱/۲۷	۷۸/۵۲	۲۷/۷۴
Bi-۲۲۱۲	۳۷/۸۲	۲۱/۶۴	۱۲/۲۴	۵۲/۴۱
Bi-۲۲۰۱	۷/۵۶	۵/۴۵	۱/۷۲	۱۳/۱۱
Bi-۲۱/۸۶۱۲	۰/۹۶	-	۶/۴۴	-
Bi-۲۱/۸۱۱۲	۶/۴۲	۱/۶۴	۱/۰۸	۶/۷۴

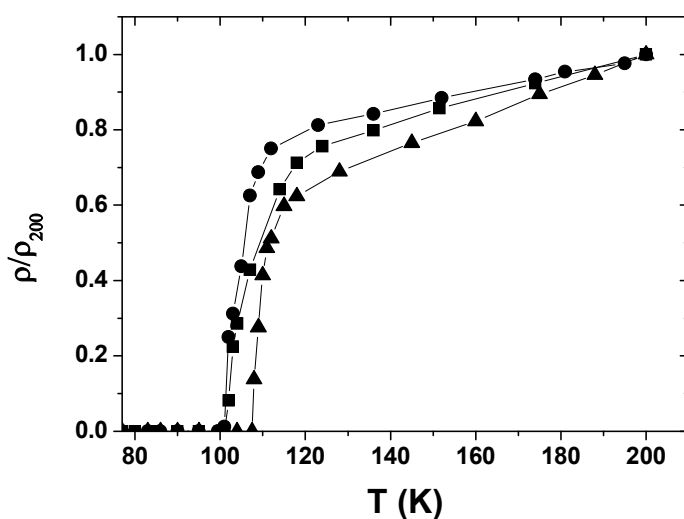
سیستم ابرسانای پایه‌ی بیسموت رشد می‌کنند که این فازهای ناخواسته باعث کاهش مقدار فاز مورد نظر و در نتیجه کاهش دمای بحرانی می‌شوند. بنابراین دمای بحرانی نمونه با مقدار نانوذرات اکسید آنتیموان  $x = 0/05$  و زمان پخت حدود ۲۷۰ ساعت نسبت به نمونه‌های آلایش داده دیگر بیشتر است. همچنین از شکل ۷ پیداست که با افزایش زمان پخت تا ۲۷۰ ساعت، دمای بحرانی تمام نمونه‌ها افزایش می‌یابد. نتایج حاصل از این بررسی‌ها سازگاری خوبی با نتایج حاصل از الگوهای پراش دارند.

برای نمونه‌ی با مقدار نانوذرات اکسید آنتیموان  $x = 0/05$  با افزایش زمان پخت بیشتر از ۲۷۰ ساعت بیشتر مشاهده شد وقتی زمان پخت ۳۳۰ ساعت شود به جای افزایش دمای بحرانی، روند نزولی آن را داریم، که این تغییرات در شکل ۸ نشان داده شده است. وقتی زمان پخت ۳۳۰ ساعت می‌شود

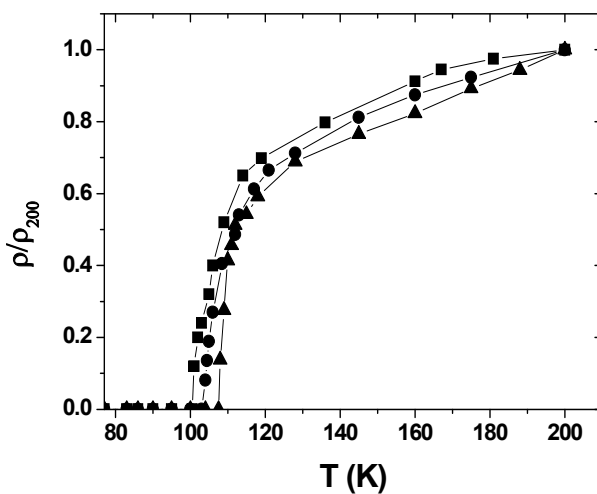
شکل‌های ۵ و ۶ نمودارهای  $T_c$  (offset) بر حسب مقدار نانوذرات اکسید آنتیموان با زمان پخت متفاوت را نشان می‌دهند. بنابر از این دو شکل، بیشترین دمای بحرانی ( $T_c$ ) (onset) و ( $T_c$  (offset)) به نمونه‌ی با مقدار نانوذرات اکسید آنتیموان  $x = 0/05$  و زمان پخت حدود ۲۷۰ ساعت وابسته است.

شکل ۷ دمای بحرانی ( $T_c$  (offset)) بر حسب مقدار نانوذرات اکسید آنتیموان در زمان‌های پخت متفاوت را نشان می‌دهد. چنانکه شکل نشان می‌دهد بیشترین و کمترین دمای بحرانی به ترتیب به نمونه‌هایی با مقدار نانوذرات اکسید آنتیموان  $x = 0/05$  و  $x = 0/07$  وابسته اند. با افزایش زمان پخت، دمای بحرانی نیز افزایش می‌یابد. علت افزایش  $T_c$  به دلیل بهبود فاز Bi-۲۲۲۳ است. از الگوهای پراش مشاهده می‌شود که برای نمونه‌ی آلایش داده شده با مقدار نانوذرات اکسید آنتیموان  $x = 0/07$ ، فازهای دیگری در

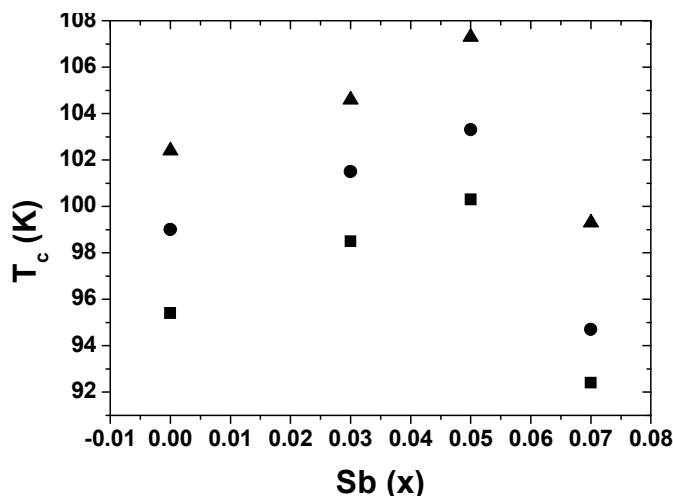
فازهای ثانویه که باعث کاهش دمای بحرانی می‌شوند در نمونه افزایش می‌یابد.



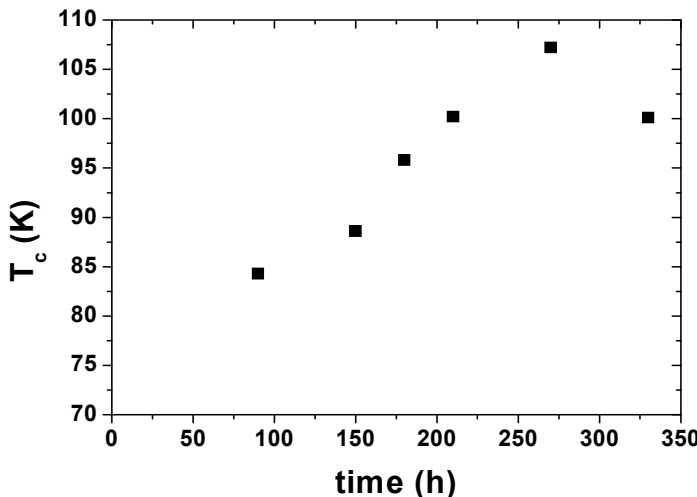
شکل ۵ نمودارهای  $\rho$ -T بر حسب مقادیر متفاوت نانوذرات اکسید آنتیموان ۰/۰۵ (■)، ۰/۰۷ (▲) و ۰/۱۵ (●) با زمان پخت ۲۷۰ ساعت.



شکل ۶ نمودارهای  $\rho$ -T برای زمان‌های پخت ۱۵۰ (■)، ۲۱۰ (▲) و ۲۷۰ (●) ساعت نمونه‌ای با مقدار نانوذرات اکسید آنتیموان ۰/۰۵.



شکل ۷ دمای بحرانی ( $T_c$ ) نمونه‌های آلایش داده شده بر حسب مقادیر مختلف نانوذرات اکسید آنتیموان با زمان‌های پخت ۱۵۰ (■)، ۲۱۰ (▲) و ۲۷۰ (●) ساعت.



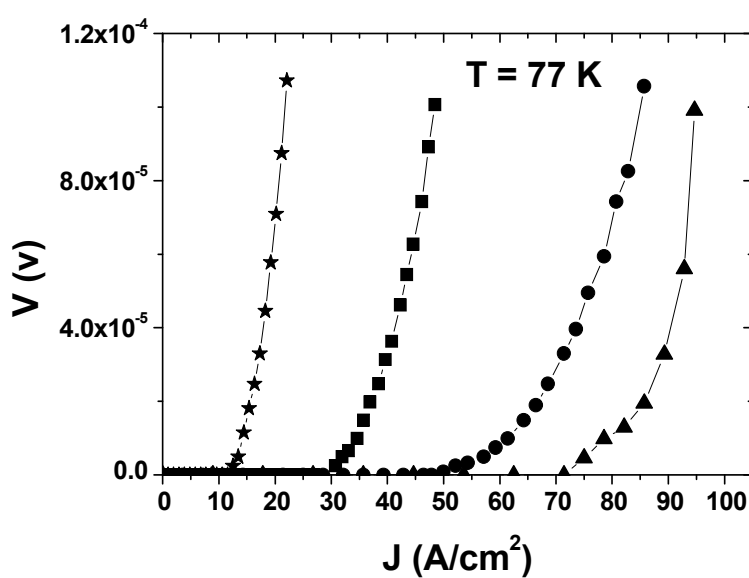
شکل ۸ دمای بحرانی ( $T_c$ ) بر حسب زمان پخت برای نمونه‌ای با مقدار نانوذرات اکسید آنتیموان  $x = 0/0/0.5$ .

زمان پخت تا حدود ۲۷۰ ساعت، چگالی جریان بحرانی افزایش می‌یابد. بنابراین چگالی جریان بحرانی برای نمونه  $Bi_{1.6}Pb_{0.35}Sb_{0.05}Sr_2Ca_2Cu_3O_y$  با زمان پخت حدود ۲۷۰ ساعت نسبت به نمونه‌های آلایش داده شده دیگر بیشتر است. برای نمونه  $x = 0/0/0.7$ ، فازهای ثانویه از قبیل  $Bi-2201$  و  $Bi-2212$  افزایش می‌یابد. فازهای ثانویه نقش پیوندگاه‌های ضعیف را بازی می‌کنند و چگالی جریان بحرانی را کاهش می‌دهند. اگر فاز  $Bi-2201$  بین دانه‌های ابررسانا قرار بگیرند، باعث کاهش شار جریان در نمونه می‌شوند و در نتیجه چگالی جریان بحرانی کاهش می‌یابد.

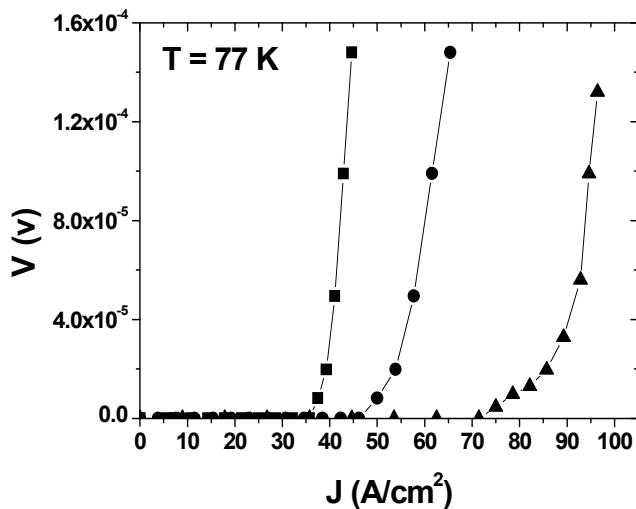
نتایج نشان می‌دهند که با افزایش زمان پخت، چگالی جریان بحرانی نمونه‌ها بهبود می‌یابد. از شکل ۱۲ پیداست که با افزایش زمان پخت تا حدود ۲۷۰ ساعت، چگالی جریان بحرانی افزایش یافته در صورتی که زمان پخت به ۳۳۰ ساعت کاهش می‌یابد. علت آن این است که با افزایش زمان پخت تا  $270\text{ h}$ ، پیوند بین دانه‌ای بهبود می‌یابد و اگر زمان پخت بیش از این افزایش یابد، فازهای ثانویه از قبیل  $Bi-2212$  و  $Bi-2201$  در نمونه بیشتر می‌شوند که این پدیده باعث کاهش چگالی جریان بحرانی می‌شود.

شکل ۹ نمودارهای  $J-V$  برای مقادیر مختلف نانوذرات اکسید آنتیموان با زمان پخت ۲۷۰ ساعت را نشان می‌دهد. از داده‌های آزمایش نتیجه گرفته شد که بیشترین و کمترین چگالی جریان بحرانی به ترتیب به نمونه‌هایی با مقدار نانوذرات اکسید آنتیموان  $x = 0/0/0.5$  و  $x = 0/0/0.7$  وابسته است.

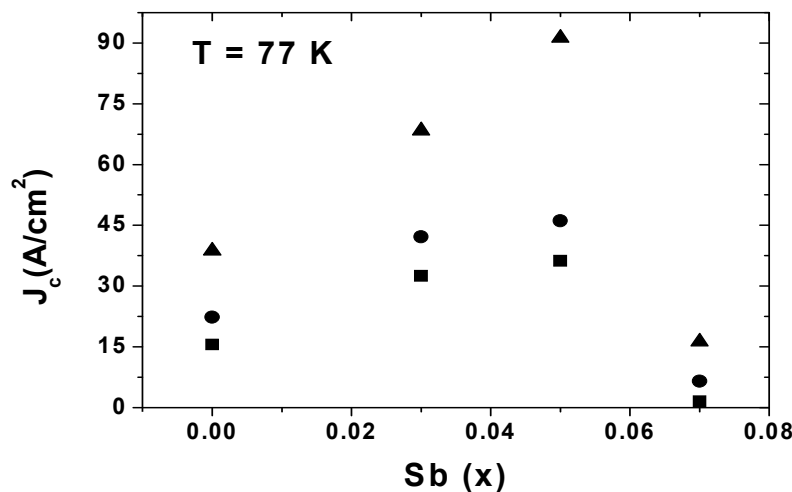
شکل ۱۰ نمودارهای  $J-V$  برای یک نمونه با مقدار نانوذرات اکسید آنتیموان  $x = 0/0/0.5$  با زمان‌های پخت مختلف را نشان می‌دهد. مشاهده می‌شود که با افزایش زمان پخت چگالی جریان بحرانی نمونه افزایش می‌یابد. چگالی جریان بحرانی اندازه‌گیری شده بر حسب مقادیر آلایش داده شده برای زمان‌های پخت متفاوت در شکل ۱۱ نشان داده شده است، نتیجه می‌شود که نه تنها نانوذرات اکسید آنتیموان فاز  $-2223-Bi$  را پایدار می‌کنند، بلکه باعث بهبود پیوند بین دانه‌ای نیز می‌شود. همچنین در بررسی‌های انجام شده روی نمونه‌های آلایش داده شده با اکسید آنتیموان مشاهده شد که با مقدار اکسید آنتیموان  $x = 0/0/0.5$  مقاومت نمونه‌ها در دمای اتاق کاهش و در نتیجه پیوند بین دانه‌ای بهبود می‌یابد [۱۹] و با توجه به توزیع نانوذرات در نمونه، باعث افزایش مراکز میخکوبی شار نیز می‌شوند. همچنین با افزایش مقدار نانوذرات اکسید آنتیموان، چگالی جریان بحرانی افزایش یافته و علاوه بر آن با افزایش



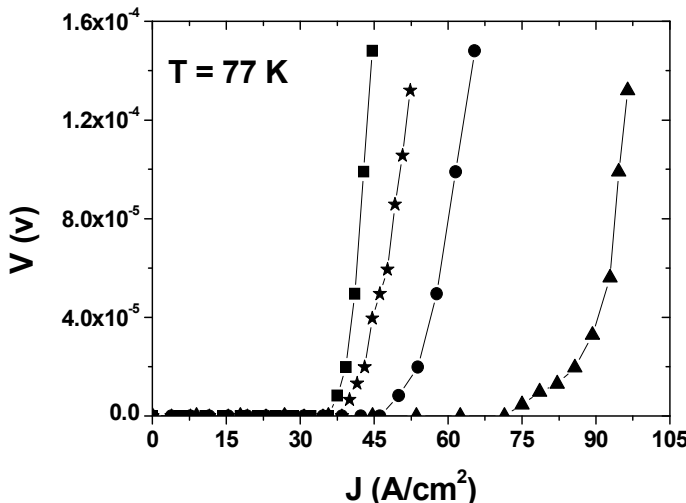
شکل ۹ نمودارهای  $V$ - $J$  برای مقادیر متفاوت نانوذرات اکسید آنتیموان  $0.05$ ,  $0.03$ ,  $0.07$ ,  $0.05$  با زمان پخت  $270$  ساعت.



شکل ۱۰ نمودارهای  $V$ - $J$  با زمانهای پخت  $150$ ,  $210$ ,  $270$ ,  $0$  ساعت برای نمونهای با مقدار نانوذرات اکسید آنتیموان  $0.05$ .



شکل ۱۱ چگالی جریان بحرانی نمونه‌های آلایش داده شده بر حسب مقادیر نانوذرات اکسید آنتیموان با زمان‌های پخت ۱۵۰ (■)، ۲۱۰ (●) و ۲۷۰ (▲) ساعت.



شکل ۱۲ نمودارهای  $V-J$  برای زمان‌های پخت ۱۵۰ (■)، ۲۱۰ (●)، ۲۷۰ (▲) و ۳۳۰ (★) ساعت نمونه‌ی با مقدار نانوذرات اکسید آنتیموان  $5 \times 10^{-5}$ .

نمودارهای  $\log V - \log I$  نمونه‌های ساخته شده با مقادیر مختلف نانوذرات اکسید آنتیموان در زمان‌های پخت ۱۵۰، ۲۱۰، ۲۷۰ و ۳۳۰ ساعت نشان می‌دهند. با محاسبه‌ی شبیه نمودارهای  $\log V - \log I$  نشان داده شده در شکل‌های ۱۴ و ۱۵، ضریب  $\beta$  که مطابق رابطه زیر به انرژی فعال‌سازی وابسته است، محاسبه شد [۲۲].

$$\beta = \frac{U}{kT} \quad (6)$$

در رابطه‌ی ۶،  $U$  انرژی فعال‌سازی،  $k$  ثابت بولتزمن و  $T$  دمای مطلق است. نتایج حاصل از اندازه‌گیری انرژی فعال‌سازی نمونه‌های آلایش داده شده با نانوذرات اکسید آنتیموان در شکل ۱۶ نشان داده شده‌اند.

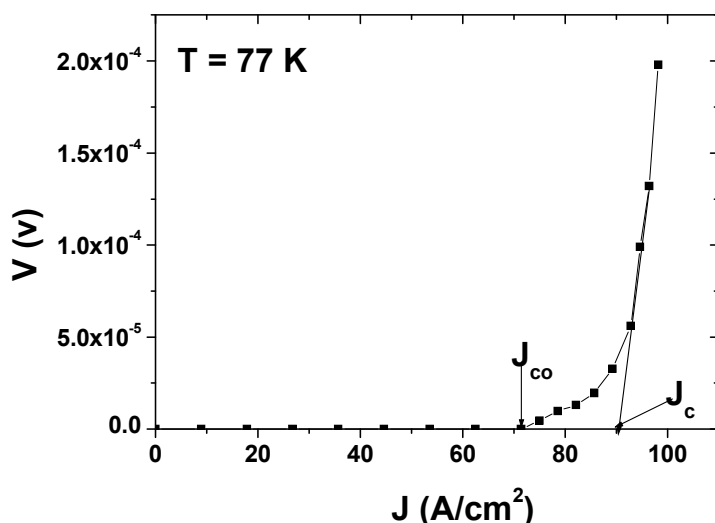
با توجه به تعریف جریان بحرانی داریم:

$$J_c = \frac{F}{\phi_0} \quad (4)$$

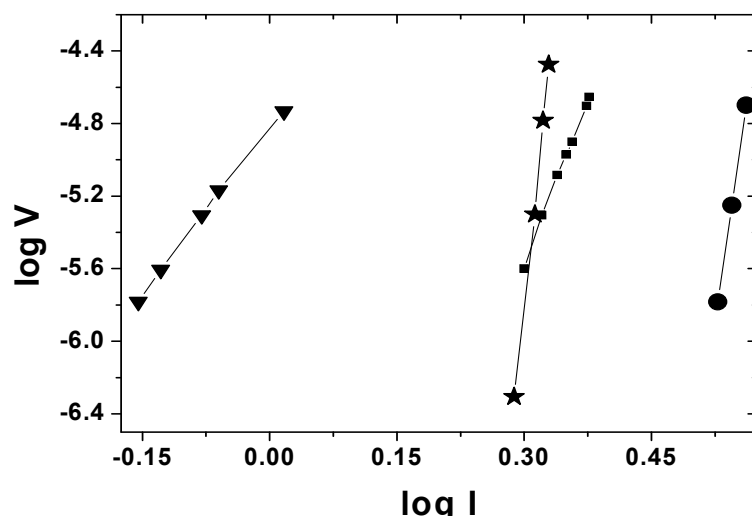
در رابطه‌ی (۴)،  $F$  نیروی واردہ بر شار ( $\phi_0$ ) است. بررسی منحنی‌های چگالی جریان بحرانی نشان می‌دهد که منحنی‌ها در ناحیه‌ی بین  $J_{co}$  و  $J_c$  شکل ۱۳ از مدل توانی زیر پیروی می‌کنند [۲۰، ۲۱].

$$V \cong \alpha I^\beta \quad (5)$$

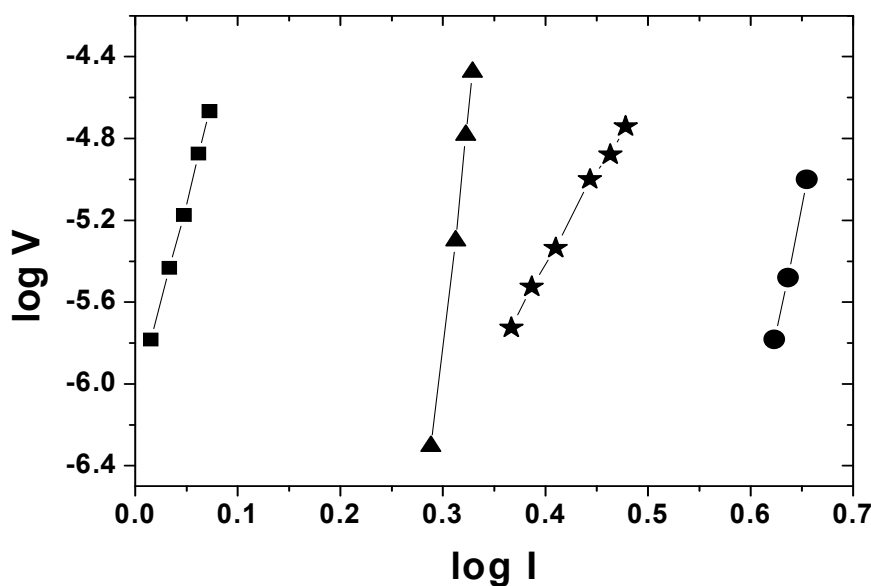
در رابطه‌ی ۵،  $\alpha$  و  $\beta$  ضرایبی هستند، که به دما بستگی دارند. از رابطه‌ی ۵ مشاهده می‌شود که منحنی  $\log V - \log I$  در ناحیه بین  $J_{co}$  و  $J_c$  خطی است. شکل‌های ۱۴ و ۱۵



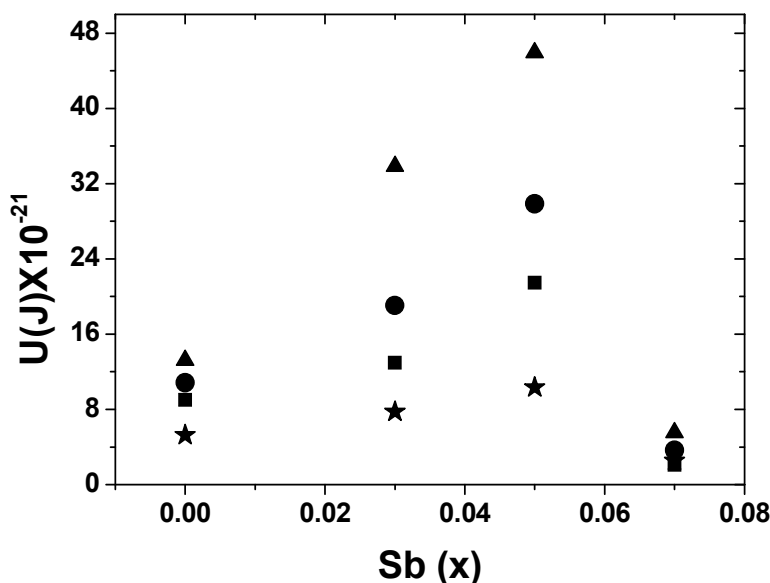
شکل ۱۳ نمودار J-V برای نمونه‌ی آلایش داده شده با نانوذرات اکسید آنتیموان  $x = 0/05$  با زمان پخت ۲۷۰ ساعت



شکل ۱۴ نمودار log V-log I برای نمونه‌های آلایش داده شده با مقادیر مختلف نانوذرات اکسید آنتیموان (■)، (●)، (○)، (★) و (▲) با زمان پخت ۲۷۰ ساعت.



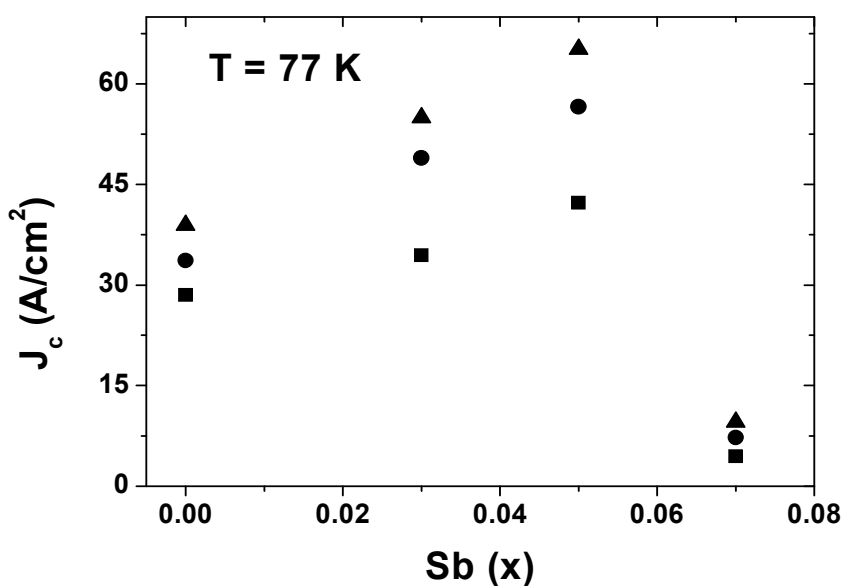
شکل ۱۵ نمودار logV-logI برای نمونه‌ی آلایش داده شده با نانوذرات اکسید آنتیموان به مقدار  $0/05$  با زمان‌های پخت ۱۵۰، (■)، ۲۱۰، (●)، ۲۷۰، (○) و (★) و ۳۳۰ ساعت.



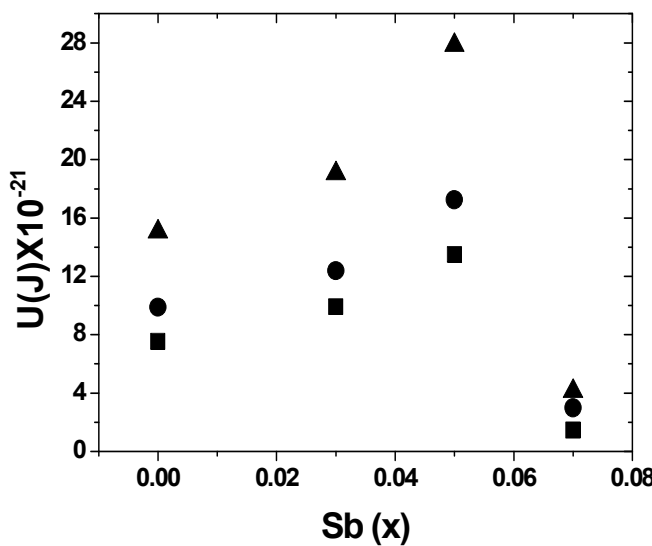
شکل ۱۶ انرژی فعال سازی بر حسب مقادیر نانوذرات اکسید آنتیموان در ابرسانای پایه‌ی بیسموت با زمان‌های پخت ۱۵۰ (★)، ۲۱۰ (●)، ۲۷۰ (○) و ۳۳۰ (■) ساعت.

در شکل ۳ نشان داده شده است، مشاهده می‌شود که در مقیاس دقت دستگاه تقریباً ناخالصی در نانوذرات اکسید آنتیموان وجود ندارد. علت آن است که هنگام ساخت نانوذرات اکسید آنتیموان چندین بار عمل مرکز گریزی و شستشو با آب قطره روی محلول حاوی نانوذرات انجام می‌شود و سپس محلول نهایی در دمای  $^{\circ}\text{C}$  ۶۰ خشک می‌شود. بنابراین می‌توان علت افزایش چگالی جریان بحرانی و انرژی فعال سازی نمونه‌های آلایش داده با نانوذرات اکسید آنتیموان را به عوامل دیگری غیر از پایدارسازها و مواد افزودنی دانست. دلیل افزایش چگالی جریان بحرانی و انرژی فعال سازی آن است که چون ابعاد نانوذرات اکسید آنتیموان در مقایسه با اندازه‌ی توده آن خیلی کوچک است، نانوذرات به راحتی می‌توانند به طور یکنواحت در نمونه توزیع شده و مراکز میخکوبی شار را در مقایسه با حالت توده آن افزایش دهند که این امر باعث افزایش چگالی جریان بحرانی و انرژی فعال سازی می‌شود.

در بررسی‌های انجام شده روی ابرسانای پایه‌ی بیسموت با توده [۲۳] و نانوذرات اکسید آنتیموان، مشخص شد که دمای بحرانی نمونه‌ها تغییر چندانی نمی‌کنند. همچنین مشاهده شد که در نمونه‌های آلایش داده شده با نانوذرات اکسید آنتیموان، افزایش نسبی در چگالی جریان بحرانی و انرژی فعال سازی آن-ها وجود دارد. برای مقایسه‌ی افزایش چگالی جریان بحرانی و انرژی فعال سازی در اثر آلایش نانوذرات اکسید آنتیموان، چگالی جریان بحرانی و انرژی فعال سازی نمونه‌های آلایش داده شده با توده اکسید آنتیموان نیز اندازه‌گیری شد. نتایج حاصل از این اندازه‌گیری‌ها در شکل‌های ۱۶، ۱۱ و ۱۷ نشان داده شدند. نخست به نظر می‌رسد که علت افزایش چگالی جریان بحرانی و انرژی فعال سازی در نمونه‌های آلایش داده شده با نانوذرات اکسید آنتیموان، به خاطر وجود مواد افزودنی هنگام ساخت نانوذرات از قبیل پایدارساز و هیدرواکسید باشد. ولی با توجه به نمودار EDX حاصل از نانوذرات اکسید آنتیموان که



شکل ۱۷ چگالی جریان بحرانی نمونه های آلایش داده شده بر حسب مقادیر توده اکسید آنتیموان با زمان های پخت ۱۵۰ (●)، ۲۱۰ (■) و ۲۷۰ (▲) ساعت.

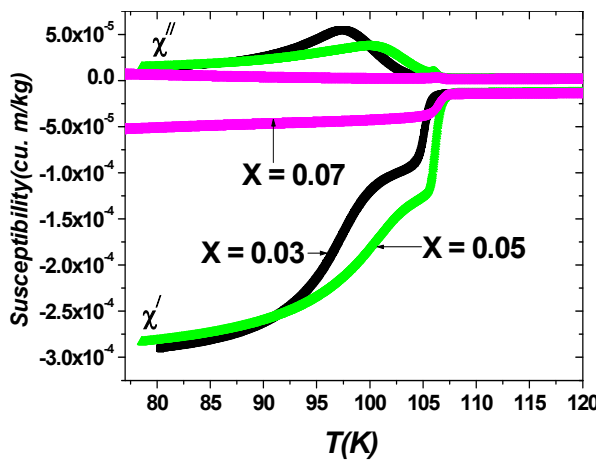


شکل ۱۸ انرژی فعال سازی بر حسب مقادیر توده اکسید آنتیموان با زمان های پخت ۱۵۰ (●)، ۲۱۰ (■) و ۲۷۰ (▲) ساعت.

دامنه‌ی گذار می‌تواند ملاک مناسبی از نسبت حجمی آنها در نمونه باشد. بخش موهومی به اتلاف پس ماند وابسته است و پهنه‌ی آن با مقدار جریان بحرانی نمونه نسبت عکس دارد. با توجه به این که قله‌ی میان دانه‌ای بسیار بزرگتر و پهن‌تر از قله‌ی درون دانه‌ای است، انتظار می‌رود جریان بحرانی در نمونه‌های بالا، پایین باشد، به عبارت دیگر فضای میان دانه‌ای جریان بحرانی درون دانه‌ای را محدود می‌کند. برای نمونه‌ی با مقدار نانوذرات اکسید آنتیموان  $x = 0.05$  دامنه‌ی گذار ( $\Delta\chi'$ )

شکل ۱۹ نتایج حاصل از اندازه‌گیری‌های پذیرفتاری مغناطیسی نمونه‌های با مقادیر نانوذرات اکسید آنتیموان  $x = 0.03$ ،  $0.05$  و  $0.07$  را نشان می‌دهد. این اندازه‌گیری‌ها دو گذار در هر دو بخش حقیقی ( $\chi'$ ) و موهومی ( $\chi''$ ) را نشان می‌دهند، که گذار دمای بالا (گذار درون دانه‌ای) و گذار دمای پایینی (گذار میان دانه‌ای) نامیده می‌شوند. بنابراین، می‌توان گذار فاز بالایی را به دانه‌ها و گذار فاز پایینی را به کل نمونه وابسته دانست. همچنین در صورت وجود چند گذار فاز، نسبت

کاهش فاز  $\text{Bi}-2223$ - $\text{Bi}$  نیز با ظاهر شدن فاز  $\text{Bi}-2212$ - $\text{Bi}$  همراه است. پس می‌توان نتیجه گرفت نه تنها افزودن نانوذرات  $\text{Sb}_2\text{O}_3$  باعث افزایش درصد حجمی فاز  $\text{Bi}-2223$ - $\text{Bi}$  می‌شود، بلکه ارتباط بین دانه‌ای را هم بهبود می‌بخشد که با نتایج مرجع [۲۵] مطابقت دارد. از شکل ۱۹ پیداست. که هر چند دمای گذار بالا (درون دانه‌ای) نمونه‌ها تقریباً یکسان است، ولی گذار دمای پایین (بین دانه‌ای) در نمونه‌ها با مقدار نانوذرات اکسید آنتیموان در حدود  $0.05$ - $0.07$  بهتر از دیگر نمونه‌های است، زیرا در این نمونه گذار بین دانه‌ای، در دمای بالاتری نسبت به بقیه نمونه‌ها رخ می‌دهد. هرچه گذار بین دانه‌ای در دماهای بالاتری رخ دهد نشان دهنده آن است که پیوند بین دانه‌ها بهبود یافته است.



شکل ۱۹ وابستگی پذیرفتاری به دما برای نمونه‌های با مقادیر نانوذرات اکسید آنتیموان  $0.07$  و  $0.05$  و  $0.03$  با زمان پخت  $270$  ساعت در میدان  $50 \text{ A/m}$ .

چگالی جریان بحرانی، انرژی فعال‌سازی در ترکیب فاز  $\text{Bi}-2223$ - $\text{Bi}$  حضور فازهای  $\text{Bi}-2201$ ،  $\text{Bi}-2212$  و ناخواسته در مرز دانه‌ها هستند. این فازها نقش پیوندگاههای ضعیف را بازی می‌کنند و با افزایش درصد آن‌ها در نمونه، دمای بحرانی، چگالی جریان بحرانی، انرژی فعال‌سازی کاهش می‌یابد. نتایج اندازه‌گیری‌ها نشان می‌دهند زمان پخت طولانی، درصد فاز

افزایش می‌یابد. با افزایش مقدار نانوذرات اکسید آنتیموان فرآیندی معکوس روی می‌دهد و درصد حجمی فاز  $\text{Bi}-2223$ - $\text{Bi}$  به سرعت کاهش می‌یابد. این روند تأثیر مثبت آلایش مقدار کم از  $\text{Sb}$  در بهبود ابررسانای  $\text{Bi}-2223$ - $\text{Bi}$  را نشان می‌دهد و نیز نشان گر این است که مقادیر بیشتر آن می‌تواند نمونه را تخریب کند. با توجه به نقش  $\text{Pb}$  در اصلاح ساختار ابررساناهای BSCCO چنین به نظر می‌رسد که حضور  $\text{Sb}$  مانع از تبخیر  $\text{Pb}$  می‌شود و شرایط بهینه برای تشکیل فاز  $\text{Bi}-2223$ - $\text{Bi}$  به وجود می‌آید. این نظریه با نتایج محاسبات و اندازه‌گیری لیو و همکارانش سازگار است [۲۶]. نه تنها آلایش نانوذرات اکسید آنتیموان تأثیر بسیار مهمی روی چگالی جریان بحرانی دارد، بلکه می‌تواند تأثیر مثبتی بر دمای گذار بین دانه‌ای داشته باشد، در نتیجه حضور نانوذرات  $\text{Sb}_2\text{O}_3$  می‌تواند باعث بهبود چگالی جریان بحرانی شود. با افزایش میزان نانوذرات  $\text{Sb}_2\text{O}_3$  نخست، دمای گذار میان دانه‌ای را افزایش می‌یابد، ولی برای مقدار خاصی از نانوذرات اکسید آنتیموان، دمای گذار بین دانه‌ای کاهش خواهد یافت. این در حالی است که دمای گذار درون دانه‌ای تغییرات چندانی نمی‌کند. قله‌ی پهن در بخش موهوهی پذیرفتاری مغناطیسی وابسته به میان دانه‌ای است. با مقدار کمی آلایش نانوذرات  $\text{Sb}_2\text{O}_3$  ضمن باریک شدن (افزایش جریان بحرانی ابررسان) به دماهای بالاتر انتقال می‌یابد و افزایش بیشتر نانوذرات  $\text{Sb}_2\text{O}_3$  باعث انتقال آن به سمت دماهای پائین‌تر می‌شود. پهن شدگی آن در دماهای پائین‌تر نشانه‌ی تخریب وابستگی میان دانه‌ای است. اگر مقدار نانوذرات اکسید آنتیموان زیاد شود، دامنه‌ی گذار فاز  $\text{Bi}-2223$ - $\text{Bi}$  شدت کاهش می‌یابد (نمونه‌ی  $0.07$   $X =$ ). جالب‌تر اینکه

### برداشت

با استفاده از روش چهار میله‌ای و پذیرفتارسنج به ترتیب، دمای بحرانی، چگالی جریان بحرانی، انرژی فعال‌سازی و پذیرفتاری  $\text{Bi}_{1.65-x}\text{Pb}_{0.35}\text{Sb}_x\text{Sr}_2\text{Ca}_2\text{Cu}_3\text{O}_y$  مغناطیسی نمونه‌های اندازه‌گیری شدند. با محاسبه‌ی درصد فازهای نمونه‌ها معلوم شد که از مهمترین عوامل محدود کننده‌ی دمای بحرانی،

[11] Popov A. G., Dovgopo V. P. I, Olevsky F. M., Melnikov V. S., Pan V. M., "The superconductivity of the Sb-doped Bi-Pb-Sr-Ca-Cu-O Compounds", Supercond. Sci. Technol. 5 (1992) 654.

[12] Agnihotry S. A., Ghosai P., Nagpai K. C., Chandra S., "Enhancement of  $T_c^{on}$  appearance of a new phase and faster kinetics in Pb+Sb doped  $\text{Bi}_2\text{Sr}_2\text{Ca}_2\text{Cu}_3\text{O}_y$ ", Supercond. Sci. Technol. 4 (1991) 7.

[13] Sarkar B., Reddy Y.S., Sharma R. G., "Effect of Sb doping on critical current density in Bi (Pb)-Sr-Ca-Cu-O high  $T_c$  superconductors", Physica C 219 (1994) 26.

[14] Zargar Shoushtari M., Bahrami A., Farbod M., "The effect of silver doping on the critical current density of Bi-Pb-Sr-Ca-Cu-O ceramic superconductor". Phys. Stat. Sol. (c), 3 (2006) 2994.

[15] Zargar Shoushtari M., Mousavi Ghahfarokhi S. E., Farbod M., "The Effect of Cd Doping on Bi-Based Superconductor". Journal of Applied Sciences 8, 14 (2008) 2613.

[۱۶] مدنی، حسن، "اصول بی جویی، اکتشاف و ارزیابی ذخایر معدنی"، چاپ دوم ۱۳۶۸ صفحه ۱۴۹.

[17] Chikazami S., Charap S. H., "Physics of Magnetism" Jhon wiley, Newyork (1964).

[18] Kameli P., Salamat H., Eslami M., "The effect of sintering temperature on the intergranular properties of Bi-2223 superconductors", Solid State Communications 137 (2006) 30.

[۱۹] موسوی قهفرخی سید ابراهیم، زرگر شوشتاری مرتضی، فربد منصور، همایش بلوشناسی و کانی شناسی ایران، مشهد، بهمن ماه ۱۳۸۶

[20] Zargar Shoushtari M., Kashian M. R., Yazdani H., "Study on the Properties of  $\text{Bi}_{1.6}\text{Pb}_{0.4}\text{Sr}_2\text{Ca}_2\text{Cu}_{2+x}\text{O}_y$ ". Physica B 321 (2002) 305.

[21] Han G. C., "Voltage-current characteristics in C-axis-oriented  $\text{Bi}_{1.8}\text{Pb}_{0.4}\text{Sr}_2\text{Ca}_2\text{Cu}_3\text{O}/\text{Ag}$  tapes", J. Phys. Condens. Matter 7 (1995) 8175.

[22] Sun J. Z., Eom C. B., Lairson B., Bravman J. C. and Geballe T. H., "Magnetic relaxation current-voltage characteris and possible dissipation mechanisms for high- $T_c$ -superconducting thin films of  $\text{Y}-\text{Ba}-\text{Cu}-\text{O}$ ", Phys. Rev B 43 (1991) 3002.

Bi-2223 را افزایش می دهد. در نتیجه مقادیر دمای بحرانی، چگالی جریان بحرانی، انرژی فعالسازی هم افزایش می یابد. بیشترین مقادیر دمای بحرانی، چگالی جریان بحرانی، انرژی فعالسازی به نمونه‌ای با مقدار نانوذرات اکسید آنتیموان به میزان  $x = 0.05$  با زمان پخت ۲۷۰ ساعت وابسته است.

#### مراجع

- [1] Turker M., "Effect of production parameters on the structure and morphology of Ag nanopowders produced by inert gas condensation", Material Science and Engineering A 367 (2004) 74.
- [2] Murry Hill, "Nanotechnology", Grerory. Timp Bell babaratories, (1999) part 1&2.
- [3] Zeng D. W., Xie C. S., Zhu B. L. and Sang W. L., "Characteristics of  $\text{Sb}_2\text{O}_3$  nanoparticles synthesized from antimony by vapor condensation method", Mater. Lett. 58 (2004) 312.
- [4] Cui Z., Zhang Z., Hao C., Dong L., Meng Z. and Yu L., "Structures and properties of nanoparticles prepared by hydrogen arc plasma method", Thin Solid Films 318 (1998) 76.
- [5] Ye C., Wang G., Kong M., Zhang L., "Controlled synthesis of  $\text{Sb}_2\text{O}_3$  nanoparticles nanowires and nanoribbons", Journal Nanometrials, 2006 (2006) 1.
- [6] Bocanegra- Diaz A., Mohallem N. S., Sinisterra R. D., "Preparation of a ferrofluid using cyclodextrin and magnetite", J. Braz. Chem. Soc. 14 (2003) 936.
- [7] Jasiolek G., Gorecka J., Majewskit G., Yuan S., Jin S., Liang R., "X-ray characterization of Bi-Pb-Sr-Ca-Cu-O ceramic", Supercond. Sci. Technol. 3 (1990) 194.
- [8] Vlasse M., Golben J., Mitchell T., "Process optimization for the Pb and Sb substituted Bi-based 2223 bulk ceramic superconductors", Supercond. Sci. Technol. 5 (1992) 236.
- [9] Chu C. W., Bechtold J., Gao L., Hor P. H., Xue Y. Y., "Superconductivity up to 114K in the Bi-Al-Ca-Sr-Cu-O compound system without rare-earth elements", Phys. Rev. Lett. 60 (1988) 941.
- [10] Dou S. X., Liu A. J., Bourdillon M., Kviz N. X., Sorrell C. C., "Stability of superconducting phases in Bi-Sr-Ca-Cu-O and the role of Pb doping", Phys. Rev. B 40 (1989) 5266.

- superconductors", Supercond. Sci. Technol. 5 (1992) 482.*
- [25] Qidwai A. A., Humayan M., Zia-ul-Haque S. M., Dabir A. and Saghir A., "Preparation and high  $T_c$  measurements of the  $Bi_{1.6}Pb_xSb_ySr_2Ca_2Cu_3O_\delta$  superconducting system with  $x = 0.4, 0.3, 0.1$  and  $y = 0, 0.1, 0.3"$ , *Supercond. Sci. Technol. 5* (1992) 602.
- [23] Mousavi Ghahfarokhi S. E., Zargar Shoushtari M., Farbod M., "Study of  $Bi_{1.65-x}Pb_{0.35}Sb_xSr_2Ca_2Cu_3O_y$  Superconductor". *Journal of Applied Sciences 9*, 4 (2009) 783.
- [24] Liu R. Y., Naite H., Okuda M. K., Nakahigashi Y. Takingawa, T. Matsushita, K. K. Kurosawa, "Effects of Sb and Pb doping on the high  $T_c$  phase formation in  $Bi-Sr-Ca-Cu-O$